

ウイルス標的となることが予想される。影響を検討した。

そこで本研究において S1P/SKI-1 が抗ルジョウイルスとなり得るか検討し評価することを目的とした。

B. 研究方法 : 1) ルジョウイルス Z 発現プラスミドを作製し、細胞内発現及びウイルス様粒子 (VLP) 產生をウェスタン・プロット法にて確認した。2) ルジョウイルス Z の L ドメイン相当配列にアミノ酸変異を導入し (図 2)、VLP 產生能を検討した。3) ルジョウイルス 表面糖タンパク質 GPC 発現プラスミドを構築し、細胞内発現系を確立した。4) ルジョウイルス GPC の S1P/SKI-1 認識予想配列にアミノ酸変異を導入し (図 5)、GPC の開裂に与える影響を検討した。5) 4)で使用したルジョウイルス GPC 変異体を使用してルジョウイルス Z によって產生される VLP 内への GPC もしくは GP2 の取り込みを検討した。6) S1P/SKI-1 低分子阻害剤 PF-429242 を使用し、細胞内においてルジョウイルス GPC の開裂に与える影

C. 研究結果 : 1) ルジョウイルス Z 遺伝子は遺伝子合成し、pCAGGS プラスミドに挿入し、C 末端には HA タグもしくは FLAG タグを付加したプラスミドを作製した。それぞれのプラスミドの 293T 細胞における発現及び VLP 產生能をウェスタン・プロット法にて確認した (図 3)。2) 野生型においては効率的な VLP 產生が検出されたのに對し、作製した全ての L ドメイン変異体においては VLP 產生が確認されなかつた。3) ルジョウイルス GPC 遺伝子を国立感染症研究所福士博士より分与いただき、PCR にて増幅後 pcDNA3.1 及び pCAGGS プラスミドに挿入した。293T 細胞へのそれぞれのプラスミド導入による発現を確認した (図 6)。GPC の C 末端に FLAG タグを付加することで、全長 GPC 及び開裂後の GP2 が検出できるが、検出に当たって CAYMAN 社の抗 FLAG ポリクローナル抗体が有用であることが明らかとなった。一方で SIGMA 社の M2 抗 FLAG モノクロ

一ナル抗体では検出が確認できなかつた。4) 野生型においては S1P/SKI-1 による効率的な開裂から GP2 が優位に検出された。一方で RKLM 配列を AAAA もしくは furin 認識配列である RRRR に変異させた変異体においては開裂による GP2 はほとんど検出されず、未開裂全長 GPC の発現が優位に確認された(図 6)。5) 野生型 GPC の開裂から生じた GP2 の Z による VLP への効率的な取り込みが確認できた。しかし全長 GPC は VLP からは検出されなかった。GPC 変異体においても全長 GPC は VLP から検出されなかった(図 7)。6) PF-429242 10μM 及び 30 μM の添加条件にて効率的に GPC の開裂阻害が確認された(図 8)。

D. 考察：ルジョウイルス Z はその他のアレナウイルス Z と同様に細胞内単独発現で VLP を産生することより、マトリックスタンパク質として機能することが明らかとなった。ルジョウイルス Z の L ドメイン配列 (YREL 及び

PSAP) がともに VLP 産生に重要であることが示された。このことよりルジョウイルスの出芽も他のアレナウイルス同様細胞内小胞輸送経路の一つである多胞体(MVB)経路を利用している可能性が高い。一方、ルジョウイルス GPC はその開裂に RKLM 配列が重要であることが示された。Furin 認識配列(RRRR)変異体においても開裂が観察されない(もしくは著しく開裂効率が悪い)ことから RKLM 配列が GPC の構造全体、特に開裂酵素による認識、に大きく寄与している可能性が示唆された。また GPC の開裂はルジョウイルス Z による VLP への取り込みにも重要であることが示された。S1P/SKI-1 阻害低分子化合物 PF-429242 によるルジョウイルス GPC 開裂阻害の結果と合わせ

て考察すると、S1P/SKI-1 阻害はルジョウイルス GPC の開裂を阻害し、表面糖タンパク質のウイルス粒子内への取り込みを制限すると考えられる。

E. 結論：ルジョウイルス Z によ

る VLP 產生系及び培養細胞への GPC
強制発現系実験において S1P/SKI-1 は
Z+GPC によるルジョウイルス様粒子
產生に重要であり、有効な抗ウイルス
薬の標的となり得ることが示唆された。

Strand Viruses、Granada、Spain、

16-21 June 2013

2. 浦田秀造、安田二朗：ラッサ
ウイルスの粒子形成・出芽解析、第 54
回日本熱帯医学会大会、長崎、2013

年 10 月 4 日-5 日

F. 健康危険情報

特になし

3. 浦田秀造、安田二朗：アレナ

ウイルスの粒子形成・出芽解析、第 61

回日本ウイルス学会学術集会、神戸、
2013 年 11 月 10 日-12 日

G. 研究発表

論文発表

なし

4. 浦田秀造、黒崎陽平、安田二
朗：S1P/SKI-1 阻害によるアレナウイ
ルス・ブニヤウイルス複製への影響、

第 3 回日本ネガティブウイルス学会、
沖縄、2014 年 1 月 13 日-15 日

学会発表

1. Shuzo Urata and Jiro
Yasuda : The impact of GPC and
N-terminal region of Lassa virus Z on
virus-like particle release 、 XV
international Conference on Negative

H. 知的財産権の出願・登録状況

なし

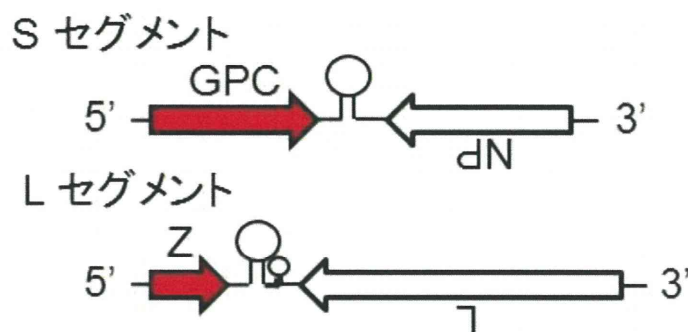


図1 ルジョウイルス(アレナウイルス)ゲノム

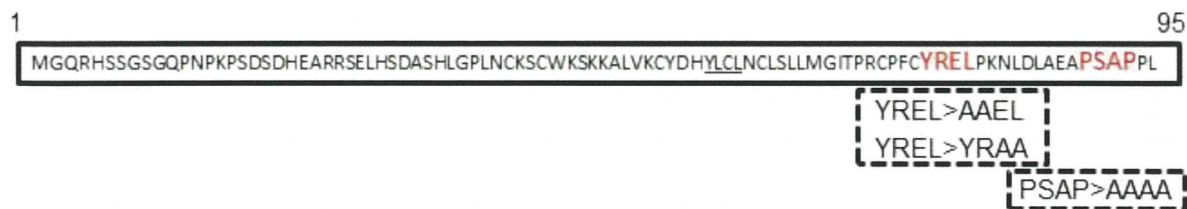


図2 ルジョウイルスZのアミノ酸配列とLドメイン、
及びLドメイン変異体のアミノ酸配列

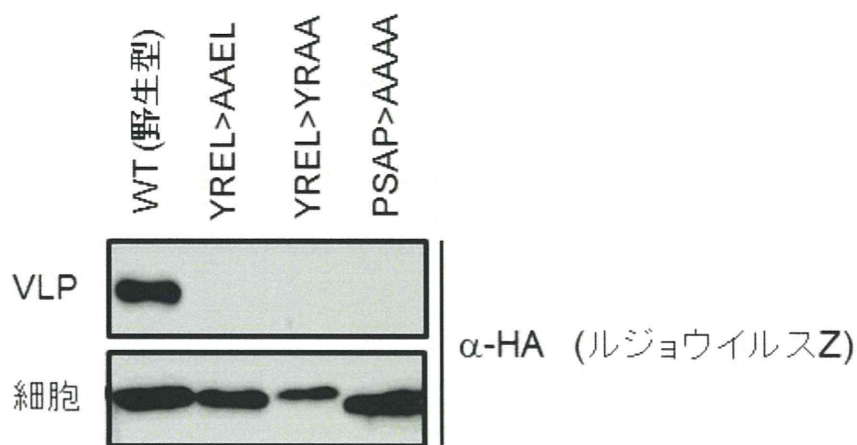


図3 図2に示したルジョウイルスZ 野生型及びLドメイン変異体の細胞内発現・
ウイルス様粒子(VLP)産生の検出

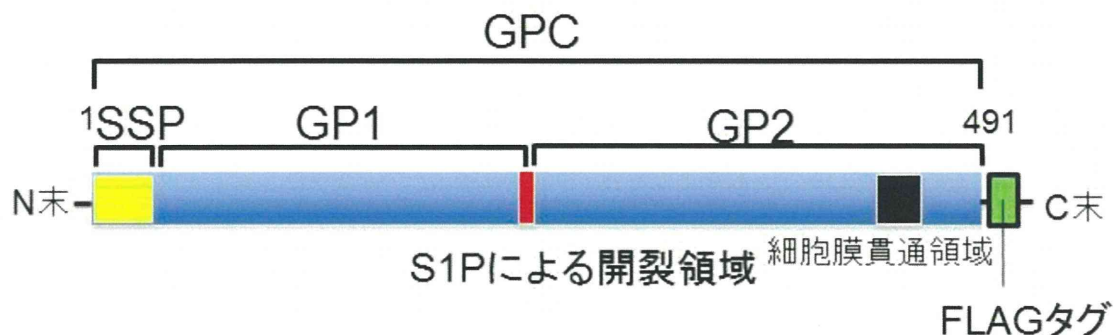


図4 ルジョウイルス表面糖タンパク質 GPCの模式図

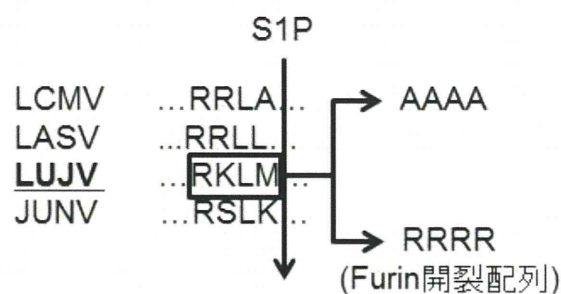


図5 ルジョウイルス表面糖タンパク質 GPCのS1P/SKI-1開裂予測部位の変異体アミノ酸配列

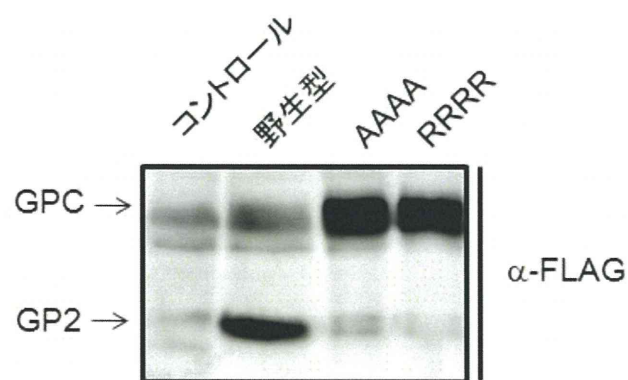


図6 野生型及び図5で示した変異体の293T細胞での発現及び開裂へ与える影響の検討

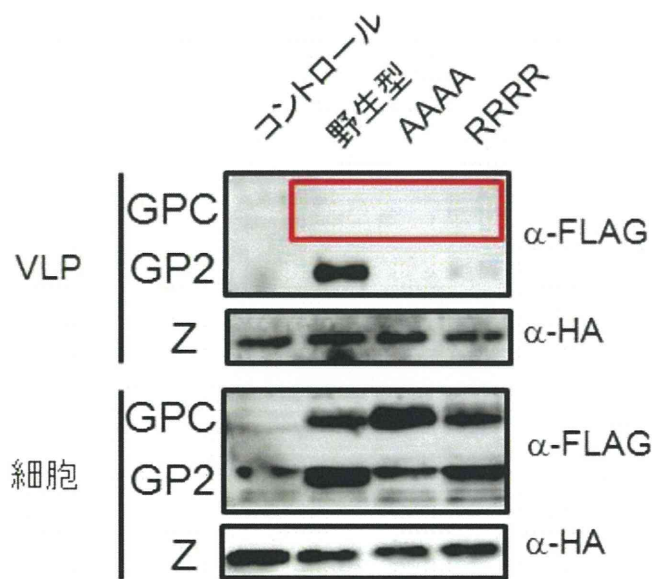


図7 ルジョウイルス GPCの開裂部位変異によるウイルス様粒子への取り込みに与える影響

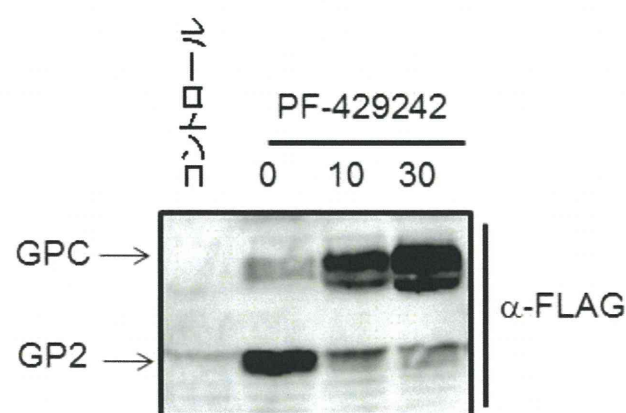


図8 S1P/SKI-1阻害低分子化合物PF-429242のルジョウイルス GPC 開裂に与える影響

厚生労働科学研究費補助金
(新型インフルエンザ等新興・再興感染症研究事業)

分担研究報告書

細胞内脂質合成を標的とした抗高病原性ウイルス療法の分子基盤

分担研究課題：細胞内脂質合成を標的とした抗デングウイルス療法
の分子基盤

研究分担者：早坂 大輔 (長崎大学熱帯医学研究所 助教)

研究要旨：本研究は、脂質合成阻害剤である PF-429242 の、デングウイルス (DENV) 感染に対する抑制効果を検証することを目的とし、ヒト由来細胞を用いて、DENV 血清型 2 型 (DENV2) に対する感染抑制効果を調べた。また、DENV Capsid 蛋白 (C 蛋白) と、その細胞内での発現時に重要とされる、宿主の細胞内脂質滴 (Lipid droplets; LD) の関係を、DENV C 蛋白の一過性発現系を作成し調べた。その結果、 $30\mu\text{M}$ の培養上清中濃度において、PF-429242 が上清中ウイルス量、ならびに細胞内ウイルス RNA 量を有意に抑制することがわかった。さらに、C 蛋白発現系では、共焦点レーザー顕微鏡により、LD 周囲に集積する C 蛋白が観察され、ウイルス抑制のメカニズムとして、LD 減少と C 蛋白との関連が示唆された。以上の結果は、PF-429242 が DENV 感染における抗ウイルス

薬として有用であることを示唆するものであった。今後、他の DENV 血清型に対する抗ウイルス効果を検証すると共に、薬剤存在下において、継続的なウイルス継代を繰り返す中で、薬剤耐性ウイルスの出現を検証する予定である。

研究協力者：内田 玲麻（長崎大学熱帯医学研究所ウイルス学分野）

A. 研究目的

デング熱/デング出血熱は、ラビウイルス科、デングウイルス（DENV）の感染により引き起こされる、蚊媒介性の熱性・出血性疾患である。WHO の提唱する「顧みられない熱帯病（NTD）」に挙げられる本ウイルス疾患は、熱帯・亜熱帯地方を中心に年間約 2,000 万人以上が感染し、発展途上国を中心に深刻な社会的・経済的な影響を与えており。患者の多くは、一過性の（古典的）発熱兆候を示すが（Dengue Fever; DF）、一部の感染者では、より重篤なデング出血熱（Dengue hemorrhagic fever; DHF）、デングショック症候群（Dengue shock syndrome;

DSS）を示し、適切な治療が行われない場合、致死率は 20% に達する。DENV はその血清型から、DENV1 から DENV4 まで分けられ、全ての血清型において、上述の DF、DHF、DSS を起こし得る。また以前より、DENV 感染では、初回感染とは異なる血清型に感染した際、2 回目以降において、より重症化する事が知られており、この現象は、抗体依存性感染増強（Antibody dependent enhancement; ADE）として説明してきた。これは、ある血清型に対する抗体が、他の血清型において、感染増強効果を示すというものであり、ワクチン開発をより一層困難なものとしている。また、未だ

一般的な実験動物モデルが確立されていないことと相まって、全ての血清型に効果を示すワクチン、抗ウイルス薬の開発には至っていない。

脂質滴（Lipid droplets; LD）は、細胞内における中性脂肪の貯蔵形態であり、肝細胞、ステロイド産生細胞に限らず、ほぼ全ての生体細胞に存在する。

DENV や、同ウイルス科に属する Hepatitis C virus (HCV) の構造蛋白である Capsid 蛋白 (C 蛋白) は、宿主細胞において、LD を発現時の足場として、この利用がウイルスの粒子形成に必須であることが知られている。脂質合成阻害剤として開発された PF-429242 は、細胞内酵素 S1P/SKI-1 を可逆的、かつ競合的に阻害することで、*in vitro*、実験動物モデルにおいて、コレステロール量および脂肪酸合成量を低下させることが知られている。PF-429242 は、これまで、HCV、Lassa virus (LASV)、Lymphocytic Choriomeningitis virus

(LCMV)、および一部の新世界アレナウイルスにおいて、ウイルス感染抑制が報告されており、今後の抗ウイルス薬としての応用が期待される。

本研究では、未だ有効な抗ウイルス薬の存在しない、DENV 感染に対し、脂質合成阻害を標的とした薬剤による、感染抑制の効果を検証する。

B. 研究方法

1) ウイルス感染実験

PF-429242のウイルス抑制効果を検証するため、PF-429242 30μMを含む培養上清中でHeLa細胞（ヒト子宮頸癌由来）にDENV2 strain 16681 (Infectious clone base) をMOI1で感染させた。また、Mockとして、等濃度のDMSOを含む培養上清とDENV2を用いた。感染、24, 48, および72時間後に培養上清、細胞を回収し、ウイルス力価測定用のサンプルとした。

2) ウイルス力価測定

培養上清中のウイルスは C6/36 E2 細胞を用いたフォーカス形成試験により、ウイルス力値を測定した。10 倍階段希釈した培養上清は C6/36 E2 細胞に感染後、4 日目に 4% Paraformaldehyde により固定、1% NP40 による透過処理後、ブロックエースによりブロッキングを行った。感染細胞の染色にはフラビウイルス共通抗 E モノクローナル抗体 (12D11/7E8) および DAB (3,3'-Diaminobenzidine, tetrahydrochloride) を用いた。

感染細胞中のウイルス RNA を定量するため、DENV2 定量用 Real-time PCR を構築した。DENV2 がコードする非構造蛋白 (NS5) 領域に対するプライマーは以下のように設計した。Forward; 5'-aacatgatggaaaaagagagaagaa gc-3'、Reverse; 5'-cgtgctccaagccacat g-3'。感染細胞より RNeasy Mini kit (QIAGEN) にて全 RNA を抽出した。抽出 RNA は DENV2 特異的 Reverse プラ

イマー、および Oligo(dT)₁₂₋₁₈ (Invitrogen) を用いて cDNA を作製し、Real-time PCR 用テンプレートとした。全てのサンプルは GAPDH 遺伝子発現量に基づき標準化し、ウイルス RNA コピー数を算出した。

3) 細胞毒性試験

PF-429242 の HeLa 細胞に対する毒性を評価するため、種々の濃度の PF-429242 における、細胞内 ATP の定量を行った。0.3, 3, 30, および 300 μM の PF-429242 を含む培養上清にて HeLa 細胞を培養し、薬剤適用 72 時間後、培地と等量の CellTiter-Glo reagents (PROMEGA) を加え、ルミノメータにより発光量を測定した。

4) 細胞内における LD, DENV2 C 蛋白、および RC の局在

DENV2 のコードする C 蛋白ならびに、Replication complex (RC) と LD との、細胞内局在を調べるため、C 蛋白および、非構造蛋白である NS2B/3 蛋白 (R

C の指標として) の一過性発現系を構築した。発現ベクターには pcDNA3.1 (+) (Invitrogen) を用い、C 末端に FL AG タグを含む、C 蛋白 (aa. 1-114) および NS2B/3 蛋白 (aa. 1346-2093) 領域をクローニングした(GI|15897698 3)。発現ベクターを HeLa 細胞にエレクトロポレーションし 40 時間後、抗 F LAG 抗体、および BODIPY 493/503 (Invitrogen) により、発現蛋白、LD をそれぞれ染色し、共焦点レーザー顕微鏡による観察を行った。

C. 研究結果

1) PF-429242はHeLa細胞において、DENV2感染を有意に抑制する
PF-429242は30μMの濃度において、上清中のウイルス量、および細胞内のウイルスRNA量を有意に低下させた(図1)。上清中のウイルス量は、感染72時間後において、Mockに比べ、およそ1/100程度に低下した。また、細胞内

ウイルスRNA量は感染48時間後から有意な低下が見られ、感染96時間後まで有意差が見られた。細胞毒性試験では、300μMの濃度において、90%近くの細胞が障害を受けたものの、30μM以下の濃度では、有意な細胞障害は観察されなかった(図2)。
2) 細胞内において、C蛋白、およびRCはLD周囲に集積する
多くの発現細胞で、C 蛋白は核内、もしくは細胞質内、NS2B/3 蛋白は細胞質内に観察された。また、LD は細胞質内に一様に分布していた。

低倍率において、大部分の C 蛋白と LD とは共局在した。しかしさらに、高倍率では、LD 周囲にリング状に集積する C 蛋白が観察された(図 3-A)。一方、NS2B/3 蛋白は低倍率、高倍率とともに、LD との共局在は観察されず、高倍率において LD を囲むような像が観察された。また、C 蛋白に見られるようなりング状構造は観察されなかった(図 3-

B)。

D. 考察

PF-429242 による DENV2 感染抑制が確認された。30μM PF-429242 の適用により、培養上清中のウイルス量が 1/100 程度に抑えられたが、この効果は完全にウイルス増殖を抑える訳ではなく、フォーカスレベル、ウイルス RNA レベル共に、一定のウイルス増殖を認めた。また、ウイルス RNA レベルでは、PF-429242 適用細胞においても、感染 24 時間後まで、Mock と同様のウイルス RNA 増幅を認めた（データ省略）。これは PF-429242 が、ウイルス感染初期の細胞侵入、ウイルス RNA 複製過程に影響を与えないことを示唆している。

C 蛋白は LD 表面上に集積すると考えられる。共焦点顕微鏡像では、LD 周囲にリング状に集積する C 蛋白が観察されたが、細胞内においては、C 蛋白が球状の LD 表面を覆うように集積し

ていると考えられる。DENV、HCV において、LD は C 蛋白発現時の足場として機能し、その周囲に RC が集積すると考えられる。S1P/SKI-1 阻害剤である PF-429242 は、細胞内 LD を減少させ、コレステロール、脂肪酸等を低下させる働きがあり、C 蛋白発現時の足場が減少した結果、ウイルス増殖が抑制されたと考えられる。

一方、アレナウイルスおよび Crimean–Congo hemorrhagic fever virus (CCHFV) では、S1P/SKI-1 は Glycoprotein (GP) の開裂に必須の細胞内酵素であり、フラビウイルス科においても、ウイルス Polyprotein の開裂に間接的、あるいは直接的に関わる可能性は否定できない。また、DENV 感染において、コレステロールや Lipid rafts が細胞侵入の際、重要であることが知られており、PF-429242 がこれら脂質の細胞内量を低下させた結果、ウイルス感染が抑制された可能性も考え

られる。以上より、LD の減少のみを DENV 感染抑制のメカニズムと結論付けるのは時期尚早であり、その分子機構の解明には、さらなる研究が必要である。

近年、大規模な化合物ライブラリーからハイスループットスクリーニングを用いた抗 DENV 薬の探索が盛んに行われているが、これらの未知の化合物を臨床試験まで到達させるには、多くの時間とコストを要する。本研究では、すでに実験動物モデルに応用されている脂質合成阻害剤を対象とするため、今後、同様の手法を用いれば、より低成本での抗 DENV 薬の開発が可能になると期待される。

E. 結論

本研究により、脂質合成阻害剤である PF-429242 が、DENV 感染抑制に対し有効であることが示唆された。今後は、他の血清型に対する抑制効果、な

らびに、PF-429242 存在下で継続的にウイルス代を行った際の、薬剤耐性ウイルスの出現について、さらに研究を進める。また、DENV の感染抑制機構について、より詳細な分子メカニズムを明らかにすることで、より効果的な薬剤投与法の開発に繋がると期待される。

F. 健康危険情報

なし

G. 研究発表

1.論文発表

1) Takamatsu Y., Okamoto K., Dinh DT., Yu F., Hayasaka D., Uchida L., Nabeshima T., Buerano C.C., Morita K.: NS1' protein expression facilitates production of Japanese encephalitis virus in avian cells and embryonated chicken eggs. J. Gen. Virol.

- 95(2):373-383. 2014.
- 2) Luat L.X., Ngwe Tun M.M., Buerano C.C., Aoki K., Morita K., Hayasaka D.: Pathologic potential of variant clones of the Oshima strain of Far Eastern subtype tick-borne encephalitis virus. *Trop. Med. Health.* In press.
- 3) Hayasaka D., Shirai K., Aoki K., Nagata N., Simantini D.S., Kitaura K., Takamatsu Y., Gould E., Suzuki R., Morita K.: TNF- α Acts as an Immunoregulator in the Mouse Brain by Reducing the Incidence of Severe Disease Following Japanese Encephalitis Virus Infection. *PLOS ONE.* 8(8):1-18, 2013.
- 2) 青木康太郎、早坂大輔、Mya Myat Ngwe Tun、嶋田聰、森田公一：日本脳炎ウイルス感染マウスにおける感染量とインターフェロン応答の解析：第 50 回ウイルス学会九州支部総会、長崎 (2013, 9)
- 3) 早坂大輔、淵上剛志、森田公一：フーリビウイルス脳炎の分子イメージング：第 156 回日本獣医学会学術集会、岐阜 (2013, 9)
- 4) 早坂大輔、青木康太郎、Mya Myat Ngwe Tun、嶋田聰、森田公一：日本脳炎ウイルス感染マウスにおける感染量とインターフェロン応答の解析：第 54 回日本熱帯医学会大会、長崎 (2013, 10)
- 5) 高松由基、森田公一、早坂大輔：マウスモデルにおける日本脳炎ウイルスの高病原性に関わる遺伝子を特定する：第 20 回トガ・フーリビ・ペスチウイルス研究会、神戸 (2013, 11)

2. 学会発表

- 1) 早坂大輔、淵上剛志、森田公一：フーリビウイルスの分子イメージング：第 48 回日本脳炎ウイルス生態学研究会、湯河原 (2013, 5)

- 6) Mya Myat Ngwe Tun, Kyaw Zin
 Thant, Shingo Inoue, Takeshi
 Nabeshima, Kotaro Aoki, Aung
 Kyaw Kyaw, Tin Myint, Thi Tar, Kay
 Thwe Thwe Maung, Daisuke
 Hayasaka, Kouichi Morita :
 Emergence of Chikungunya virus
 African genotype in Myanmar : 第
 20 回トガ・ラビ・ペストウイル
 ス研究会、神戸 (2013, 11)
- 7) 早坂大輔、青木康太郎、Mya Myat
 Ngwe、嶋田聰、森田公一 : 日本脳
 炎ウイルス感染マウスにおける感
 染量とインターフェロン応答の解
 析 : 第 61 回日本ウイルス学会学術
 集会、神戸 (2013, 11)
- 8) 高松由基、岡本健太、Dihn Tuan Duc、
 余福勲、早坂大輔、内田玲麻、鍋島
 武、Corazon C Buerano、森田公
 一 : 日本脳炎ウイルスの NS1' タン
 パク質は、鳥細胞でのウイルス產生
 を増加させる : 第 61 回日本ウイル
- ス学会学術集会、神戸 (2013, 11)
 9) 白井顕治、北浦一孝、早坂大輔、高
 崎智彦、鈴木隆二、倉根一郎 : 日本
 脳炎感染マウスの予後に関連する
 脳内浸潤 T 細胞の質的な違い : 第
 61 回日本ウイルス学会学術集会、
 神戸 (2013, 11)
- 10) Mya Myat Ngwe Tun, Daisuke
 Hayasaka, Kotaro Aoki, Masachika
 Senba, Kenji Shirai, Ryuji Suzuki,
 and Kouichi Morita : TNF- α and
 IL-10 reduce the incidence of
 mortality in mice following
 tick-borne encephalitis virus
 infection : 第 61 回日本ウイルス学
 会学術集会、神戸 (2013, 11)

H. 知的財産権の出願・登録状況

なし

1. 特許取得

なし

2. 実用新案登録

なし

3. その他

なし

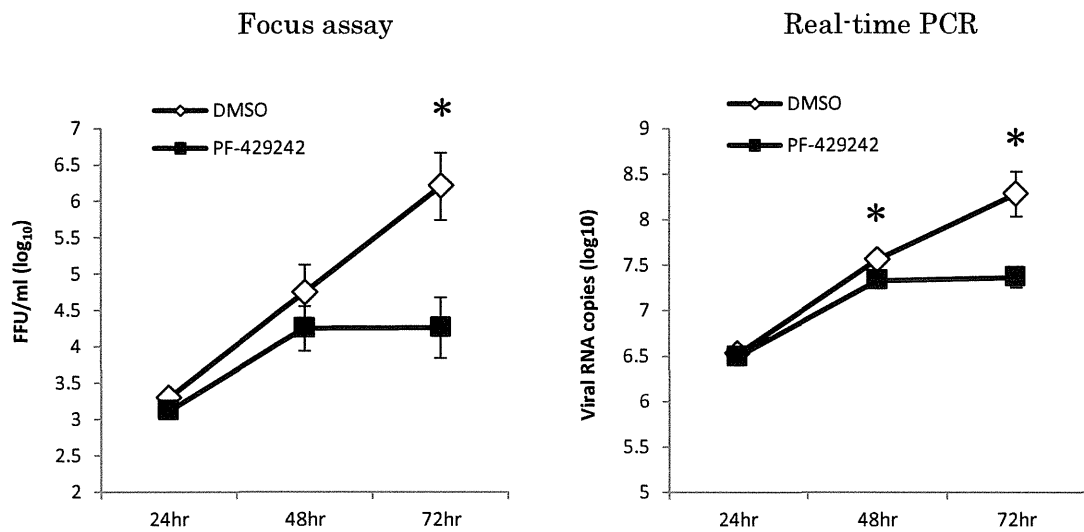


図 1: 30 μ M PF-429242 を含む培養上清において、DENV2 を MOI1 で HeLa 細胞に感染させた。感染、24, 48, および 72 時間後に培養上清、感染細胞を回収し、それぞれ、Focus assay、Real-time PCR によりウイルス力値を測定した。ウイルス RNA のコピー数は、プラスミドスタンダードに基づく絶対定量により算出し、GAPDH 遺伝子発現量を用いて標準化した。Mock には PF-429242 と等濃度の DMSO を用い、それぞれの実験は 3 回の独立した Duplicate により行った。図中のエラーバーは標準誤差を表す。各時間において、T 検定による有意差検定を実施した ($P < 0.01$)。

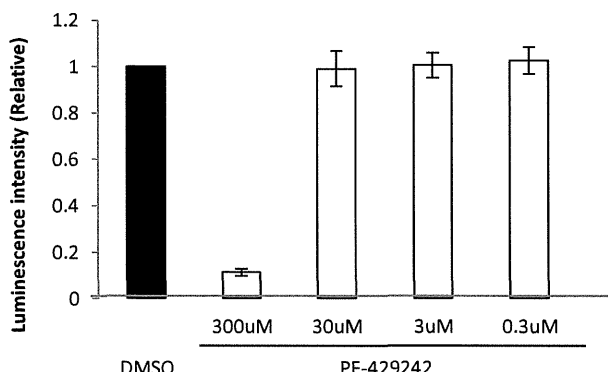


図 2: 300, 30, 3, および 0.3 μ M の PF-429242 を含む培養上清において、HeLa 細胞を 72 時間培養し、細胞内 ATP を CellTiter-Glo™ Luminescent Cell Viability Assay (PROMEGA) により測定した。Mock には PF-429242 と等濃度の DMSO を用い、それぞれの ATP 量は Mock に対する相対値として算出した。3 回の独立した実験を Duplicate で実施した。図中のエラーバーは標準誤差を表す。

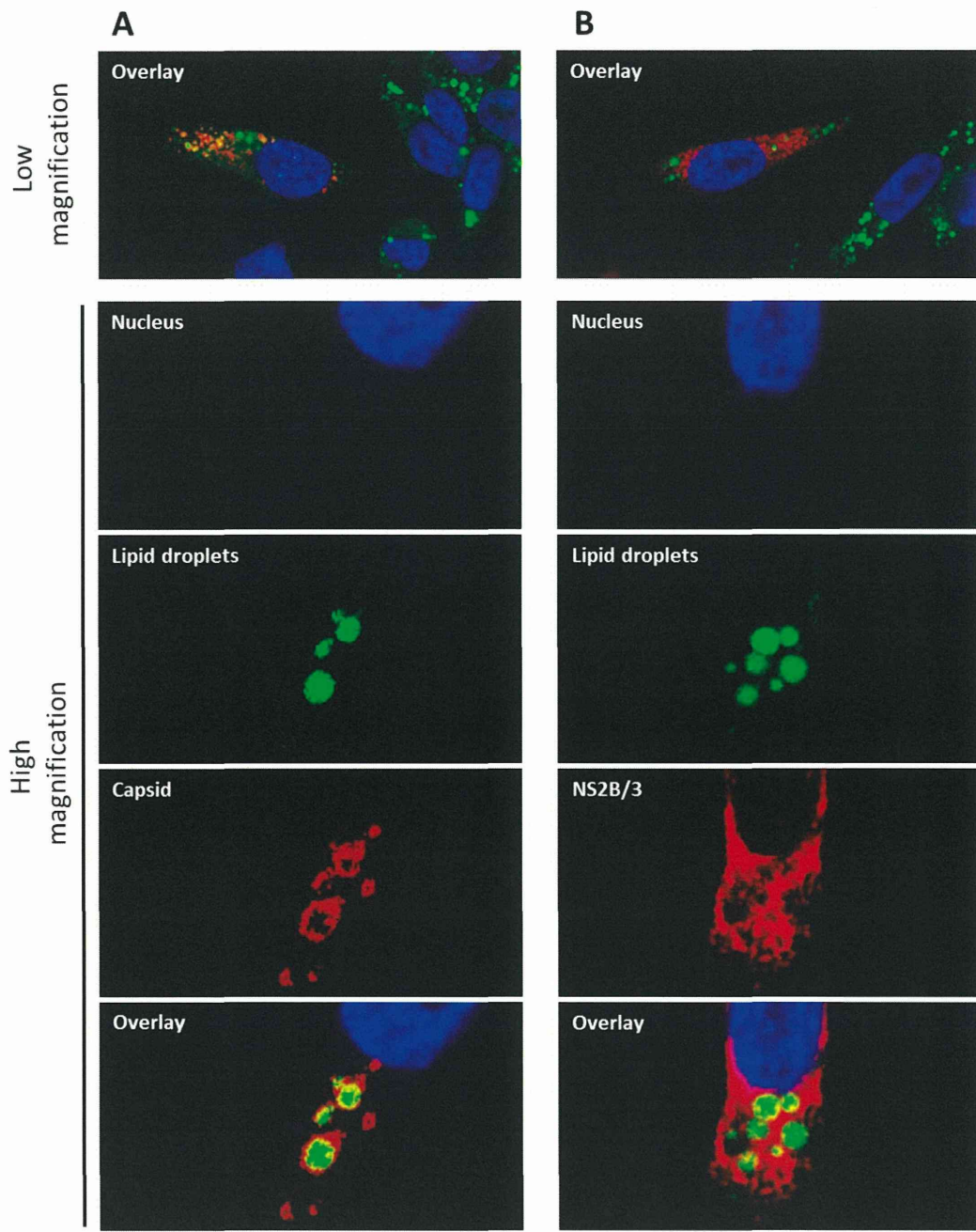


図 3: DENV2 のコードする C 蛋白、NS2B3 蛋白発現プラスミドを HeLa 細胞にトランスフェクションし、40 時間後、抗 FLAG 抗体、および BODIPY 493/50 3 (Invitrogen) により、発現蛋白（赤）または LD（緑）を染色した。DAPI (4', 6-diamidino-2-phenylindole) を含む封入剤にて核（青）を染色し、共焦点レーザー顕微鏡 (LSM780, Zeiss) による観察を行った。対物レンズには x63 (Low magnification) および x100 (High magnification) を使用し、8 回の Averaging により画像を取得した。

厚生労働科学研究費補助金

(新型インフルエンザ等新興・再興感染症研究事業)

分担研究報告書

細胞内脂質合成を標的とした抗高病原性ウイルス療法の分子基盤

分担研究課題：細胞内脂質合成を標的とした

抗クリミア・コンゴ出血熱ウイルス療法の分子基盤

研究分担者：黒崎 陽平 (長崎大学熱帯医学研究所 助教)

研究要旨：本研究は未だ有効な抗ウイルス療法が確立されておらず、そのヒトへの病原性の高さから人類への脅威となっているクリミア・コンゴ出血熱ウイルスに対して S1P/SKI-1 が有効な標的となり得るか検討・評価するものである。クリミア・コンゴ出血熱ウイルス表面糖タンパク質 G の開裂に S1P/SKI-1 が必須であることが示されているが、G の開裂機構を含め未だ解明されていない点が多い。本年度は BSL-4 でのみ使用が可能である感染性クリミア・コンゴ出血熱ウイルスの BSL-2 で解析可能なモデルウイルスであるハザラウイルスを使用してクリミア・コンゴ出血熱ウイルスに対して S1P/SKI-1 が有効な抗ウイルス標的となり得ることを示した。また、クリミア・コンゴ出血熱ウイルス抗 Gn 抗体・数種類の G 発現プラスミドを作製し、S1P/SKI-1 による G 開裂を検討でき

る実験系を構築した。

研究協力者： 浦田 秀造 (長崎大学熱帯医学研究所)

A. 研究目的・意義：クリミア・コンゴ出血熱ウイルス (CCHFV) はブニヤウイルス科ナイロウイルス属に属する三分節マイナス鎖 RNA ウィルスである。CCHFV はダニ媒介性のウイルスで、感染域はアフリカ・ヨーロッパ・アジアと広く、更に致死率は 10% 前後と考えられており高い。現在有効なワクチン・治療法はない。CCHFV の細胞内での生活環は不明な点が多く残るが、感染性粒子産生のために 2 つのエンベロープタンパク質 Gn/Gc の前駆タンパク質 G の開裂が必要であることが示されている (図 1)。CCHFV の G は 1684 アミノ酸と大きく細胞膜貫通領域を 6 か所保有する (図 1 及び図 4)。G の細胞内における開裂についても不明な点が多くあるが、Pre-Gn の開裂は細胞内酵素 S1P/SKI-1 によることが報告されてお

り (RRL 配列)、本研究において Pre-Gn の開裂を担う S1P/SKI-1 が CCHFV の有効な抗ウイルス薬となり得るか評価することを目的としている。感染性 CCHFV はバイオセーフティーレベル (BSL)-4 においてのみ使用可能であるため、本年度は、CCHFV G 発現プラスミドの作製及び CCHFV のモデルとしてハザラウイルス (HAZV) を使用して研究を進めた。

B. 研究方法：

1. プラスミド及び抗体作製
CCHFV の M 分節 cDNA は Dr. Roger Hewson (Public Health England, UK) より分与していただいた。この DNA を鑄型として PCR 反応にて CCHFV 全長 G 遺伝子を増幅し C 末端に V5/His タグを付加した哺乳類細胞発現プラスミドを構築した (図 2)。G 発